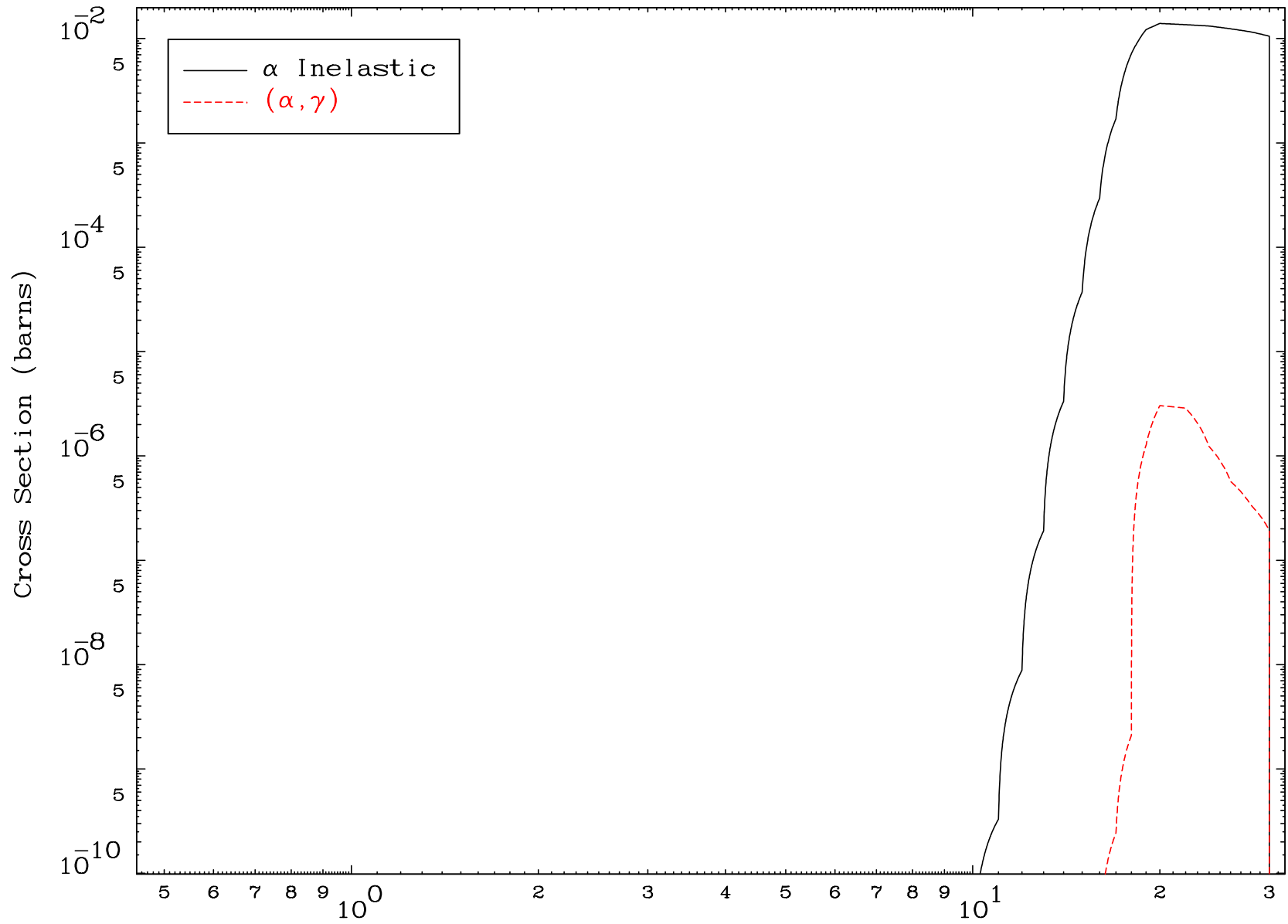


MAT 7934

α Major
0 Kelvin Cross Sections

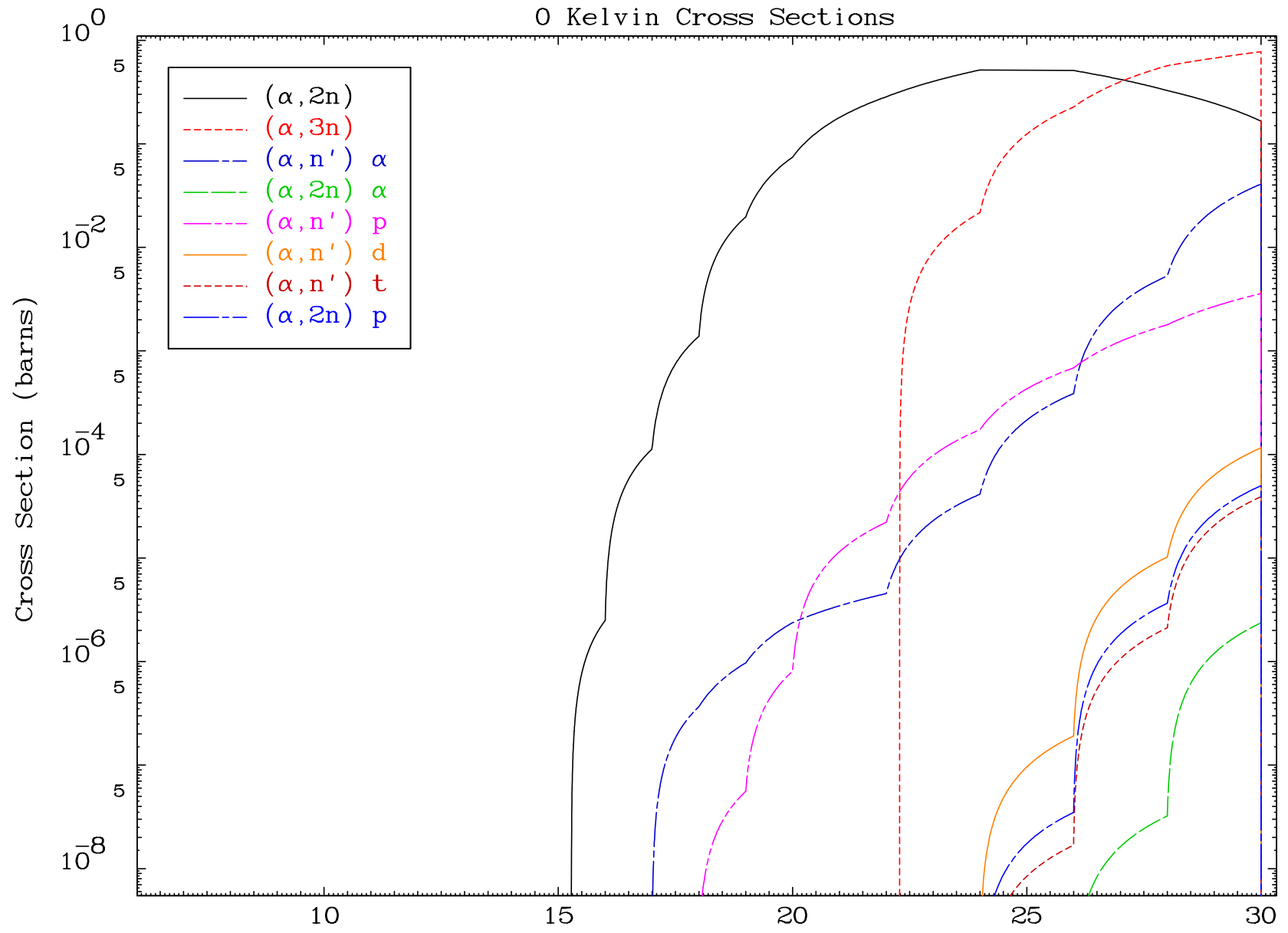
79-Au-200

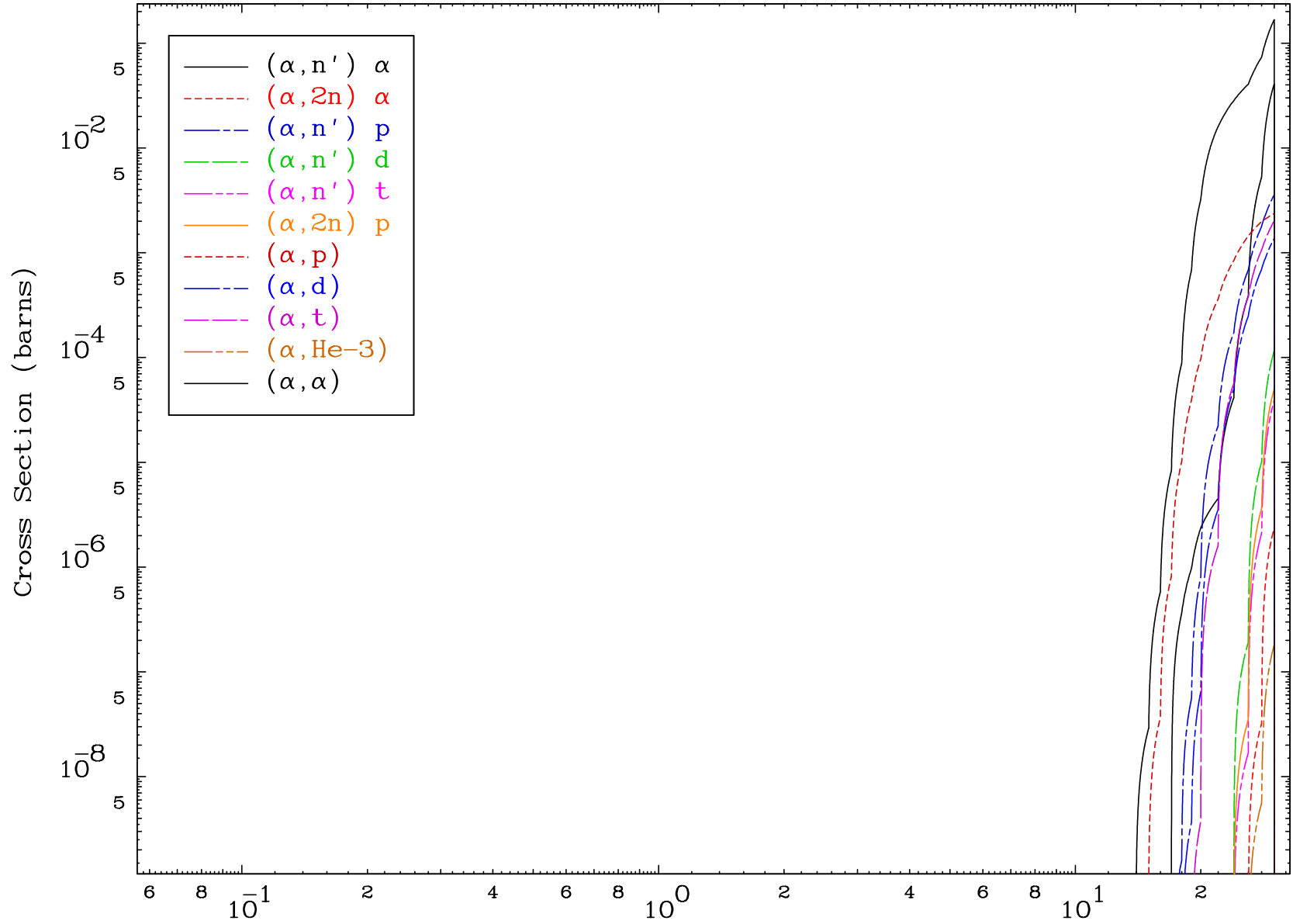


1

Incident Energy (MeV)

79-Au-200

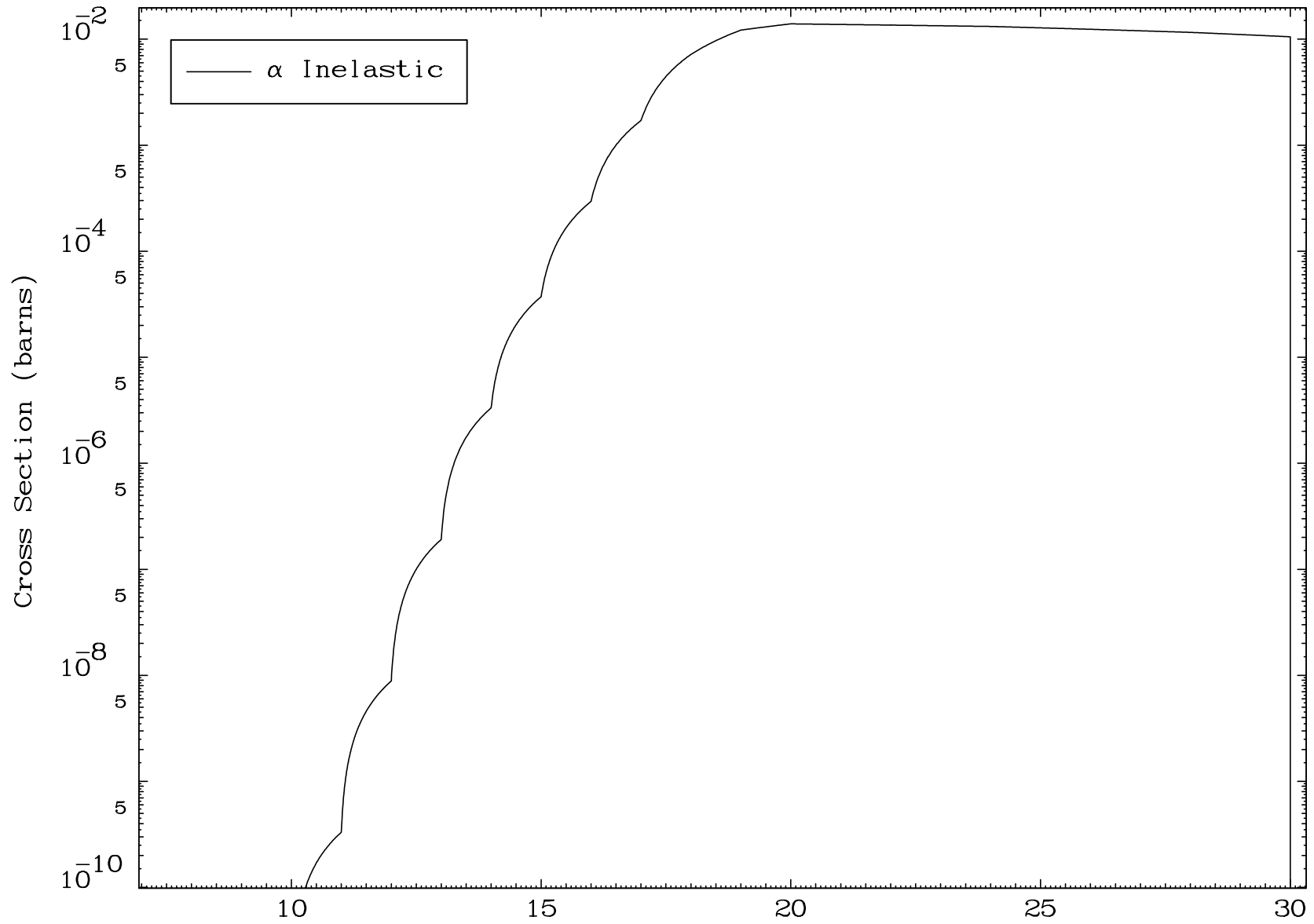




MAT 7934

(α, n') Level
0 Kelvin Cross Sections

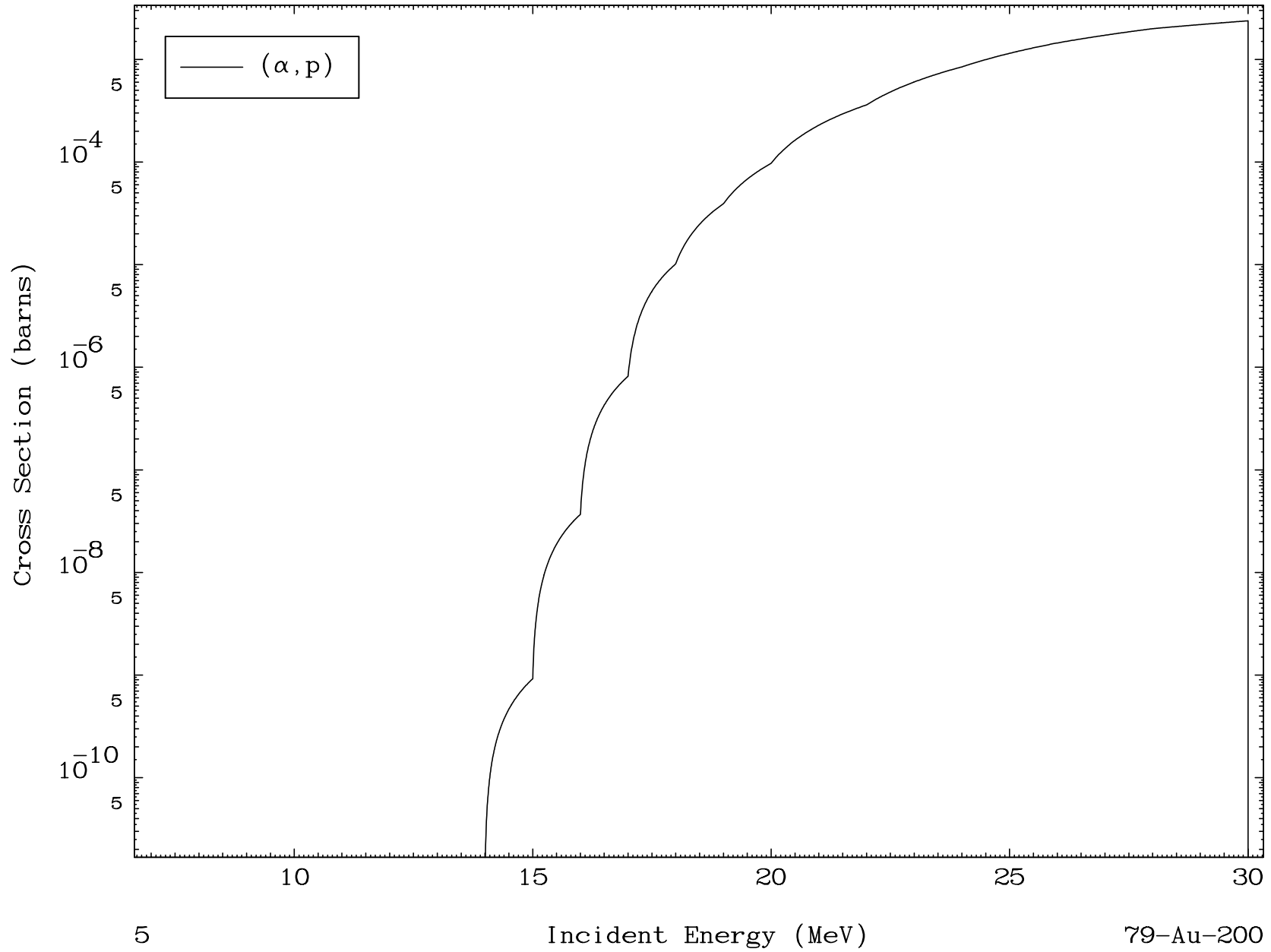
79-Au-200

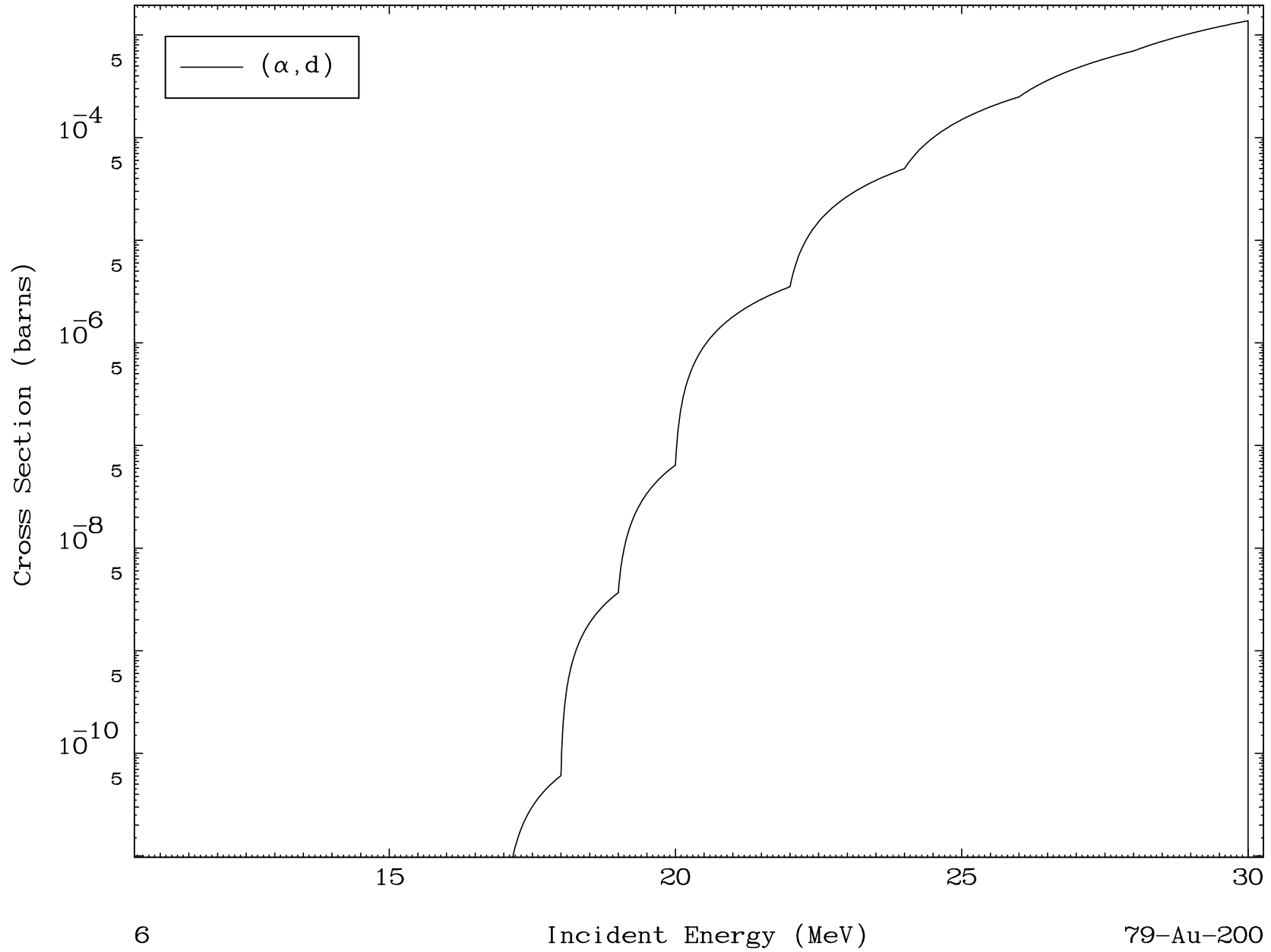


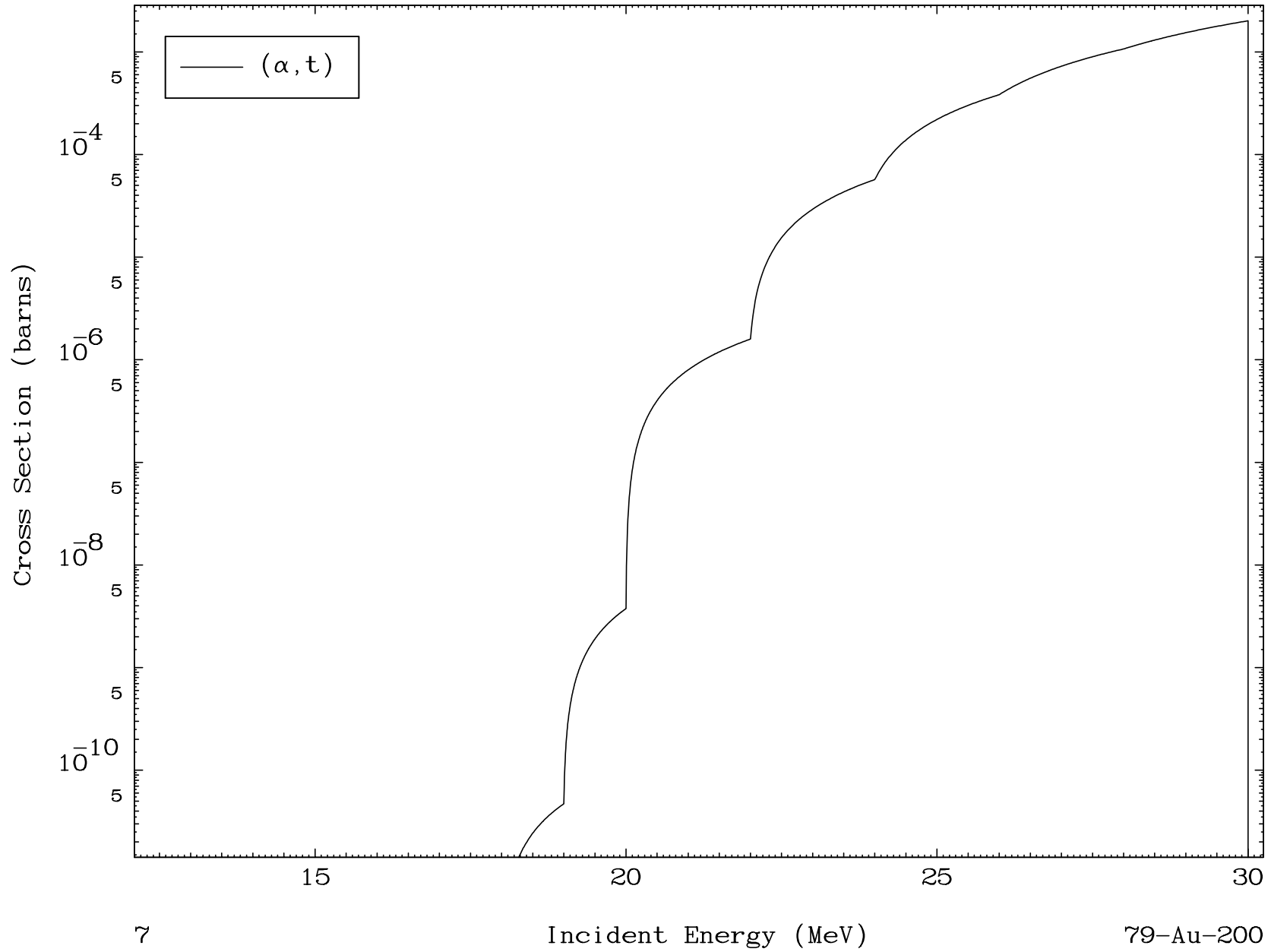
4

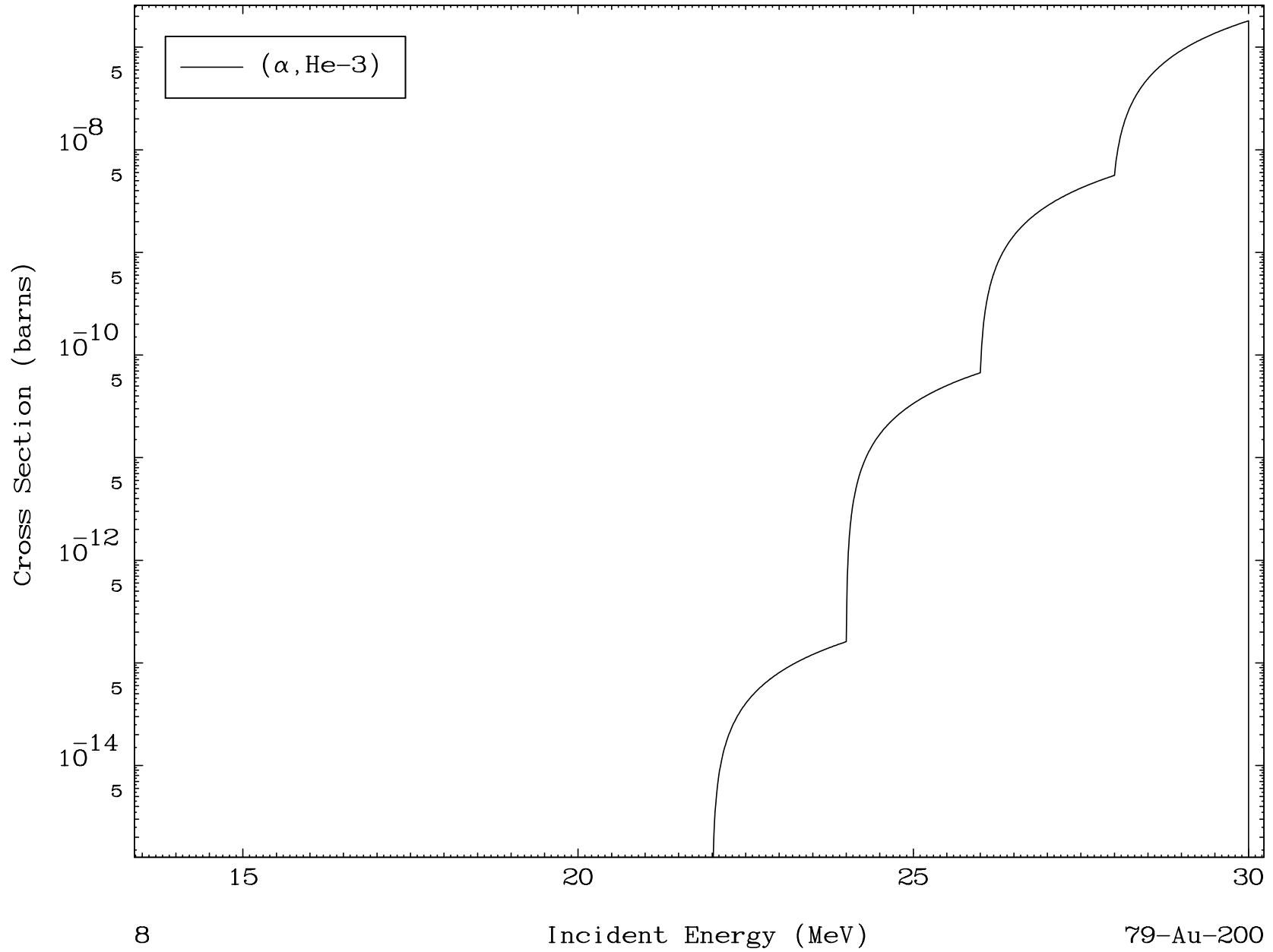
Incident Energy (MeV)

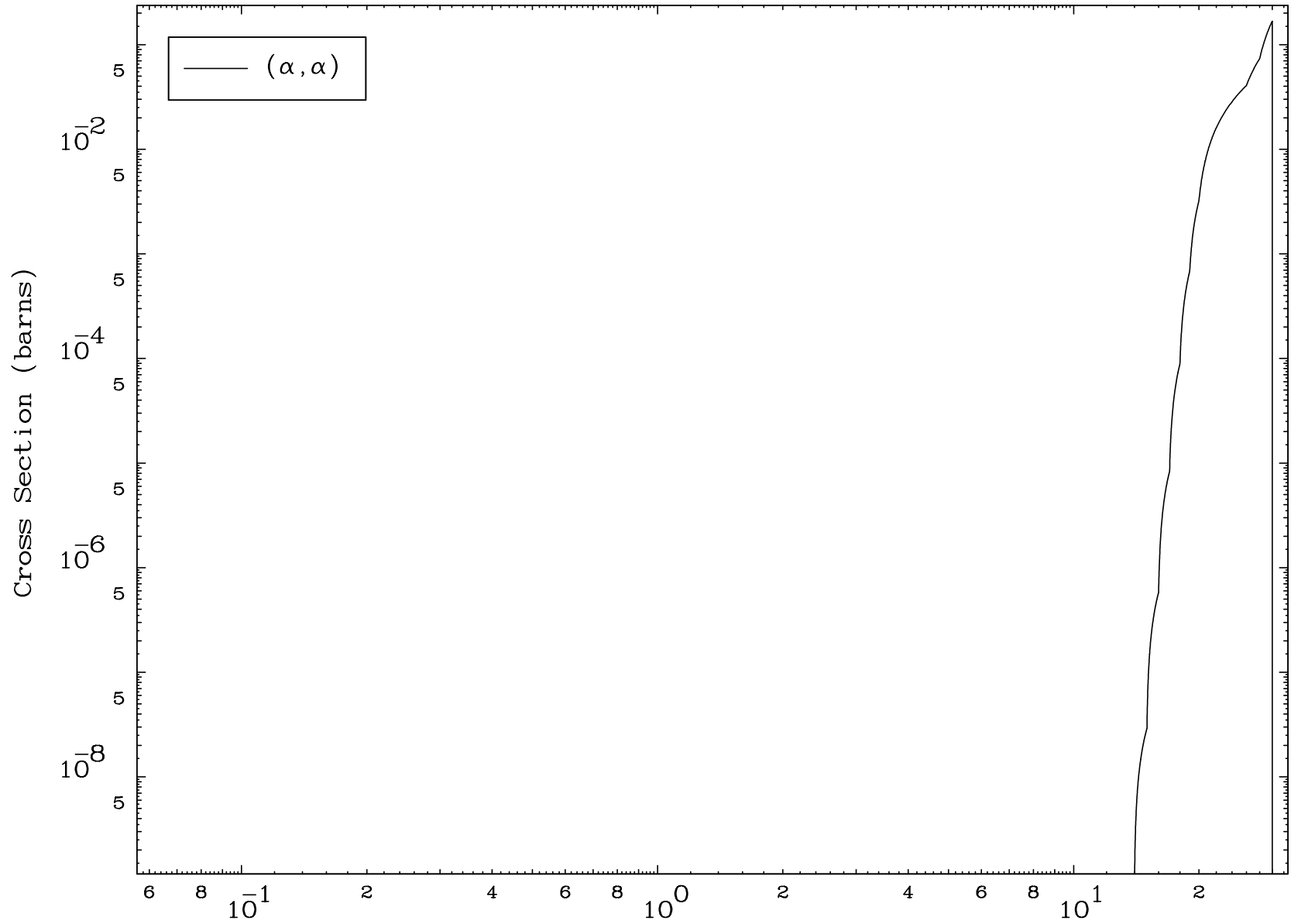
79-Au-200









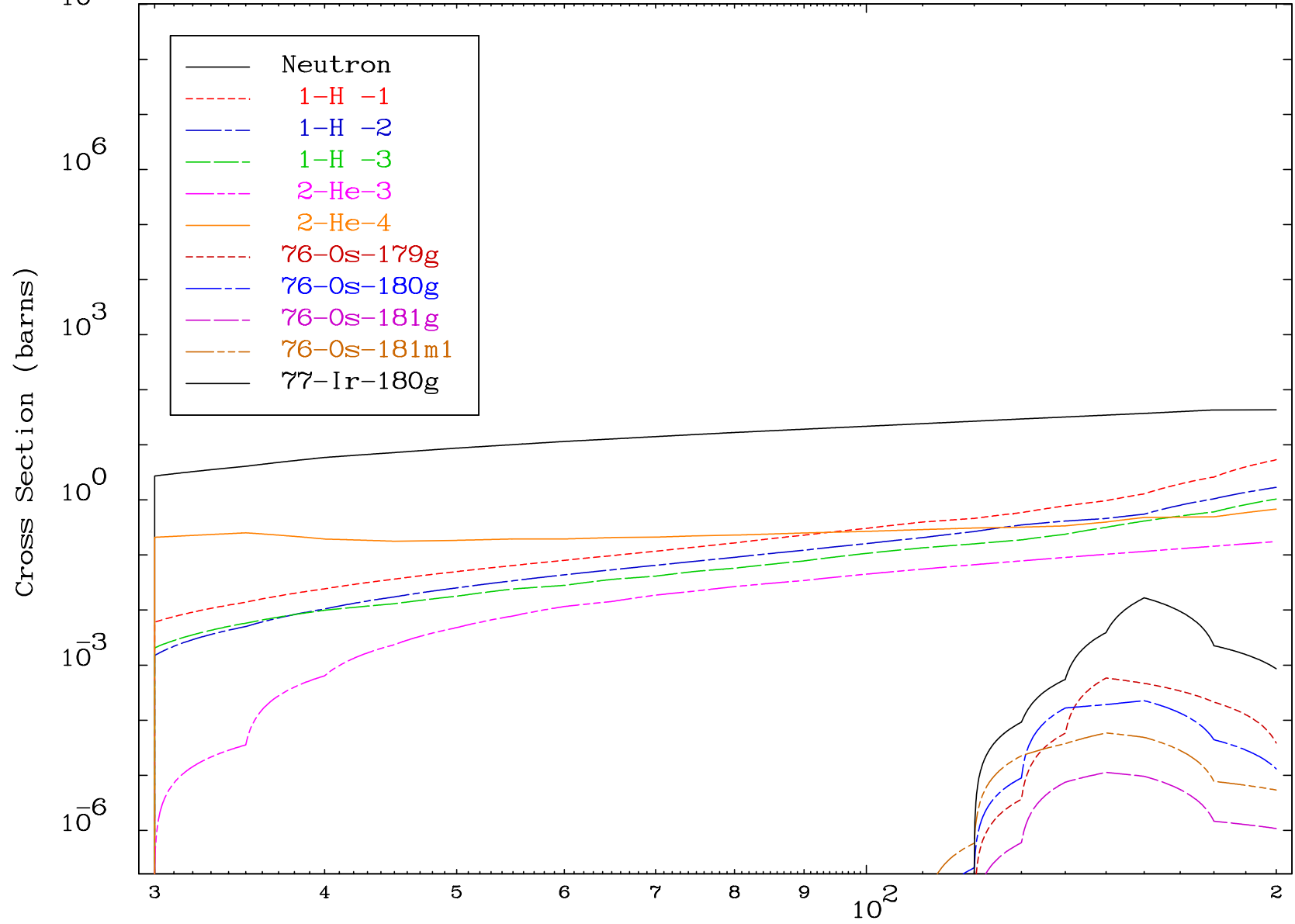


MAT 7934

(α , remainder)

79-Au-200

Radionuclide Production Cross Section

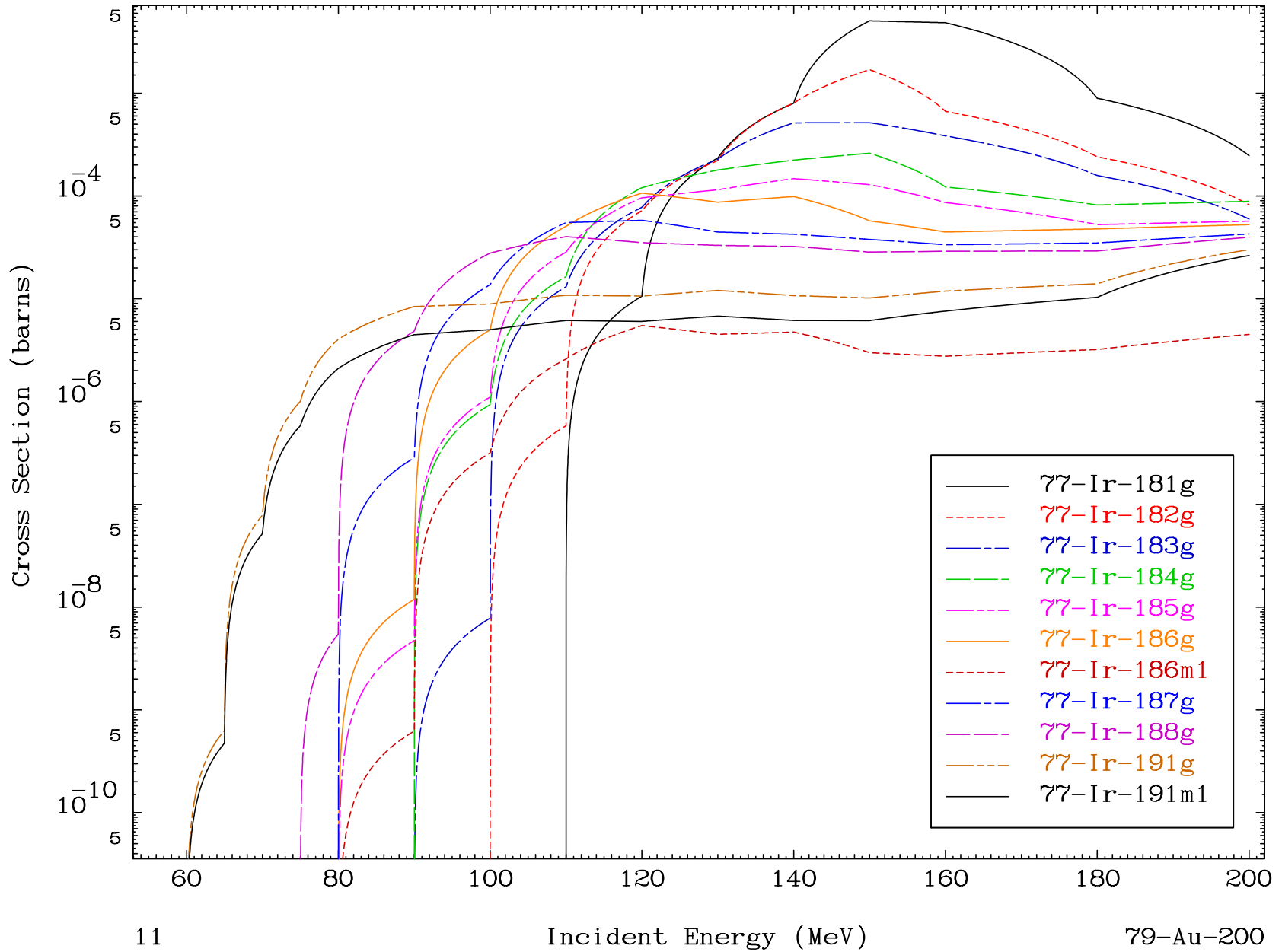


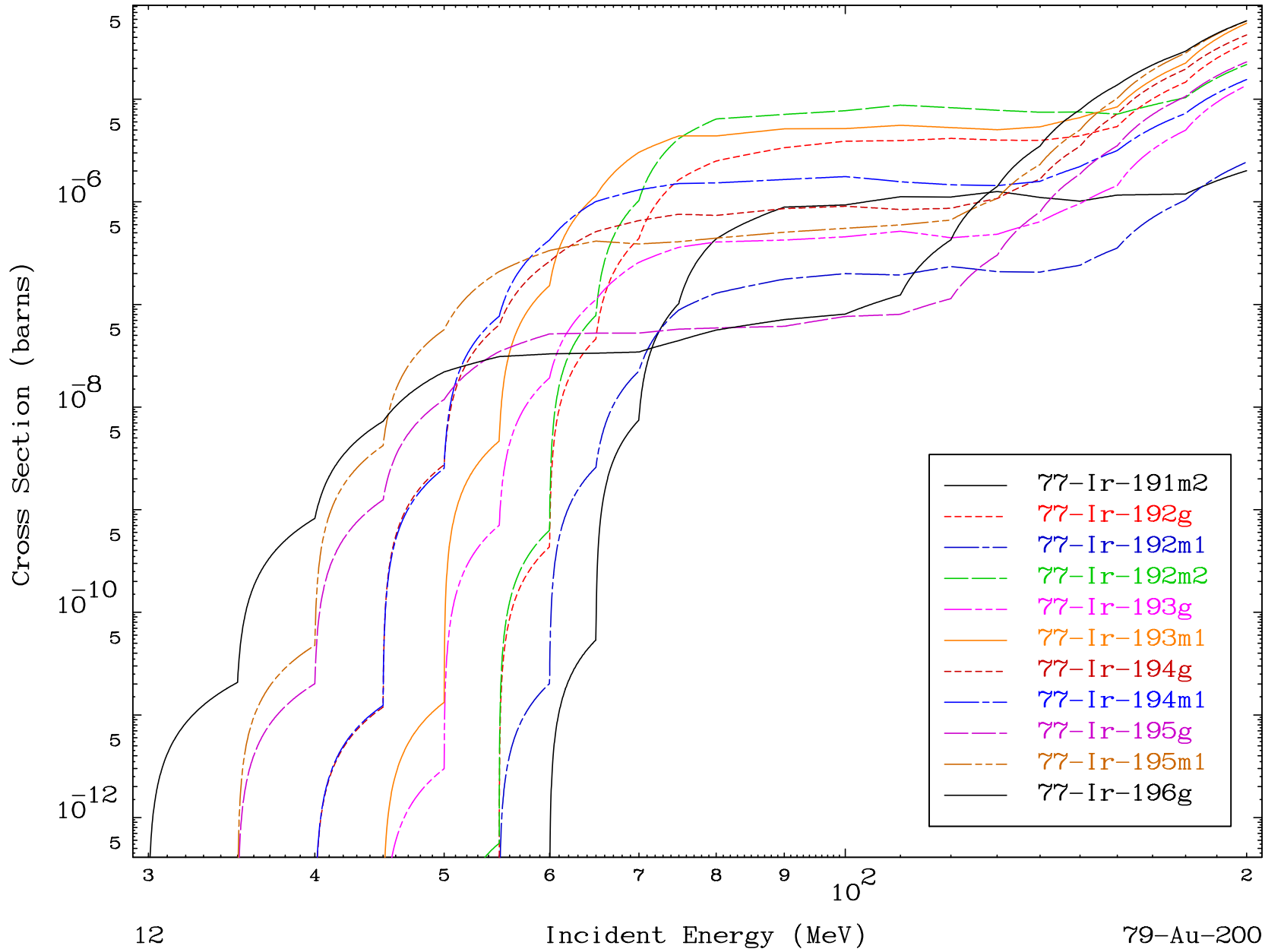
10

Incident Energy (MeV)

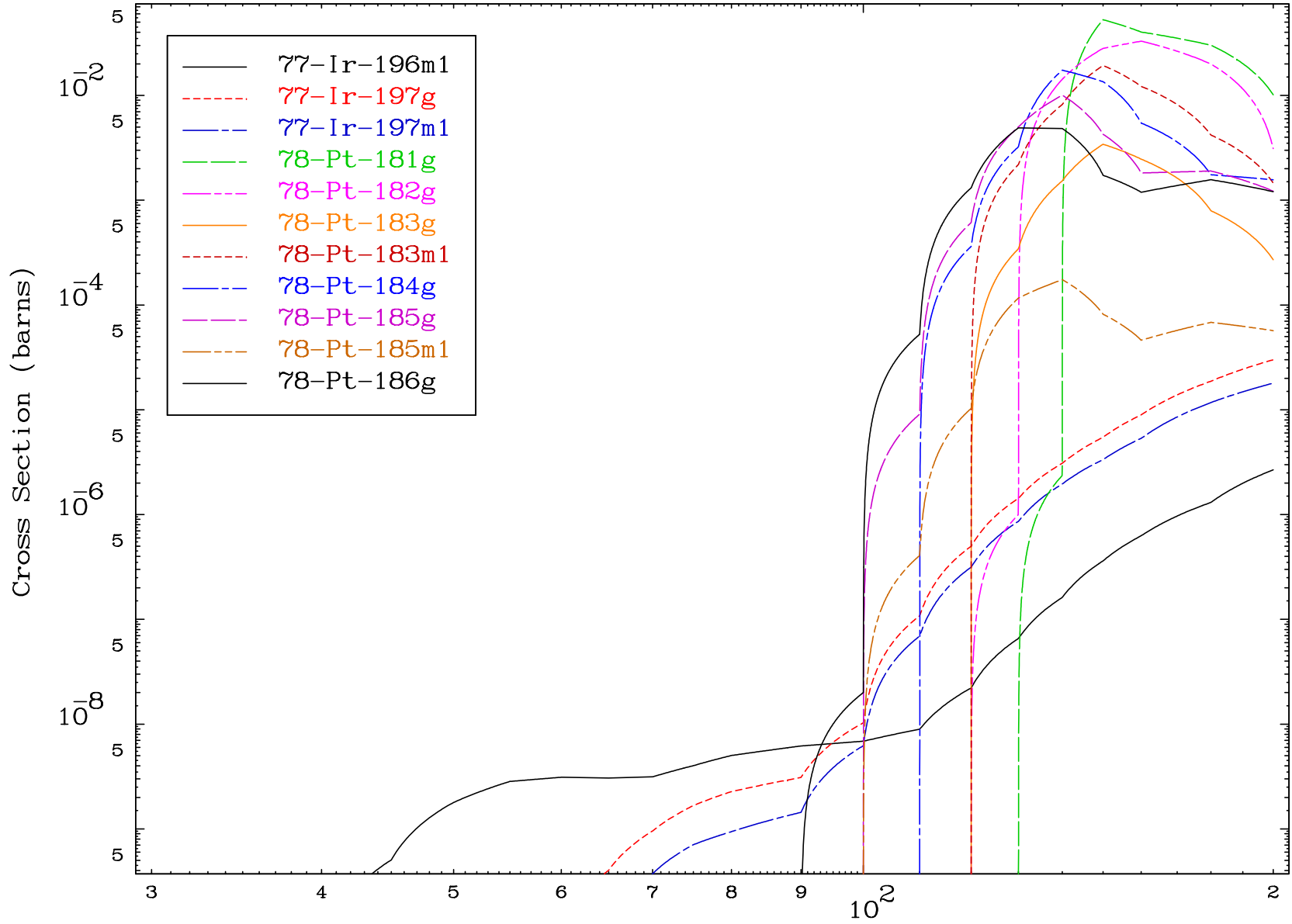
79-Au-200

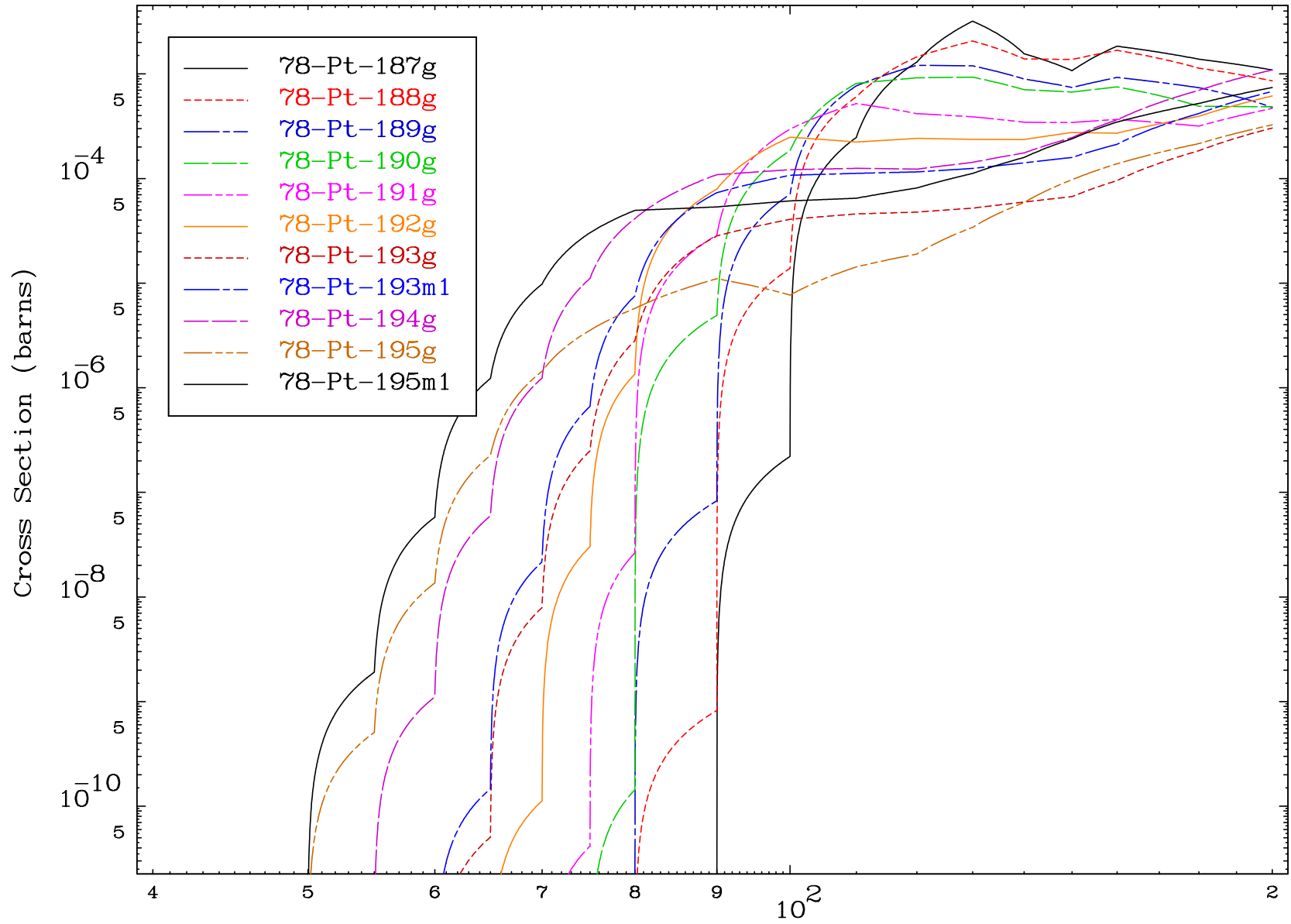
Radionuclide Production Cross Section





Radionuclide Production Cross Section



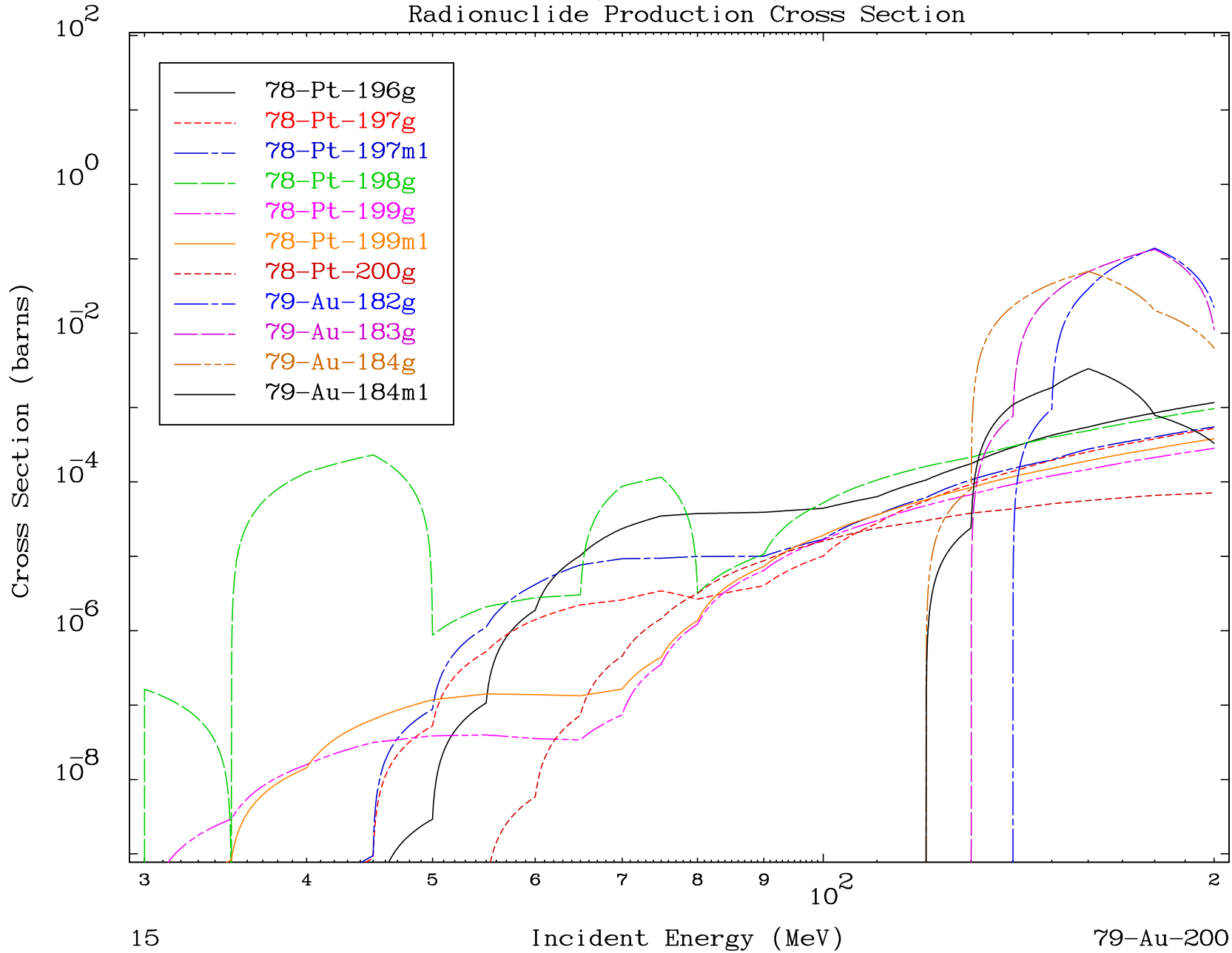


MAT 7934

(α , remainder)

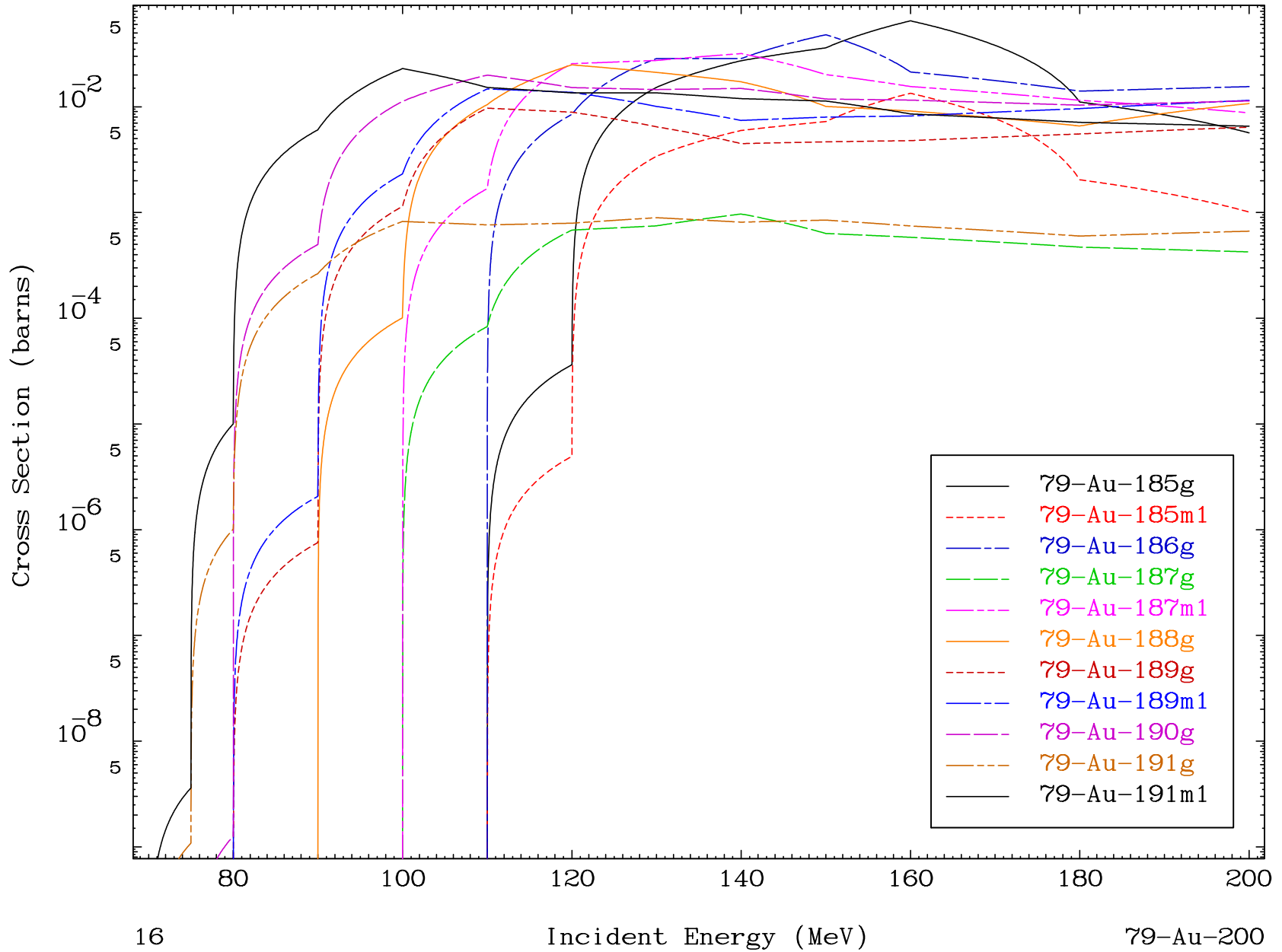
79-Au-200

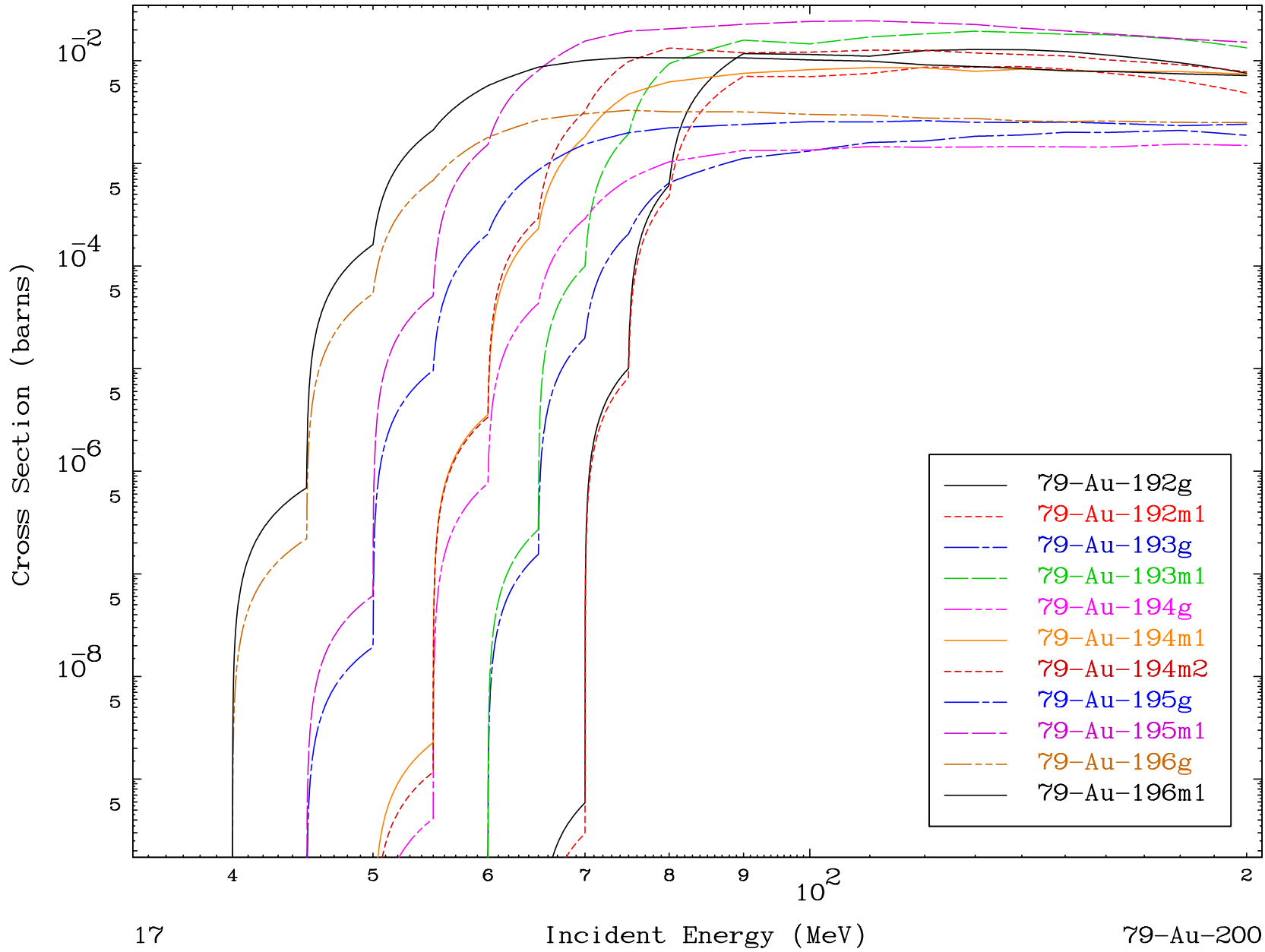
Radionuclide Production Cross Section

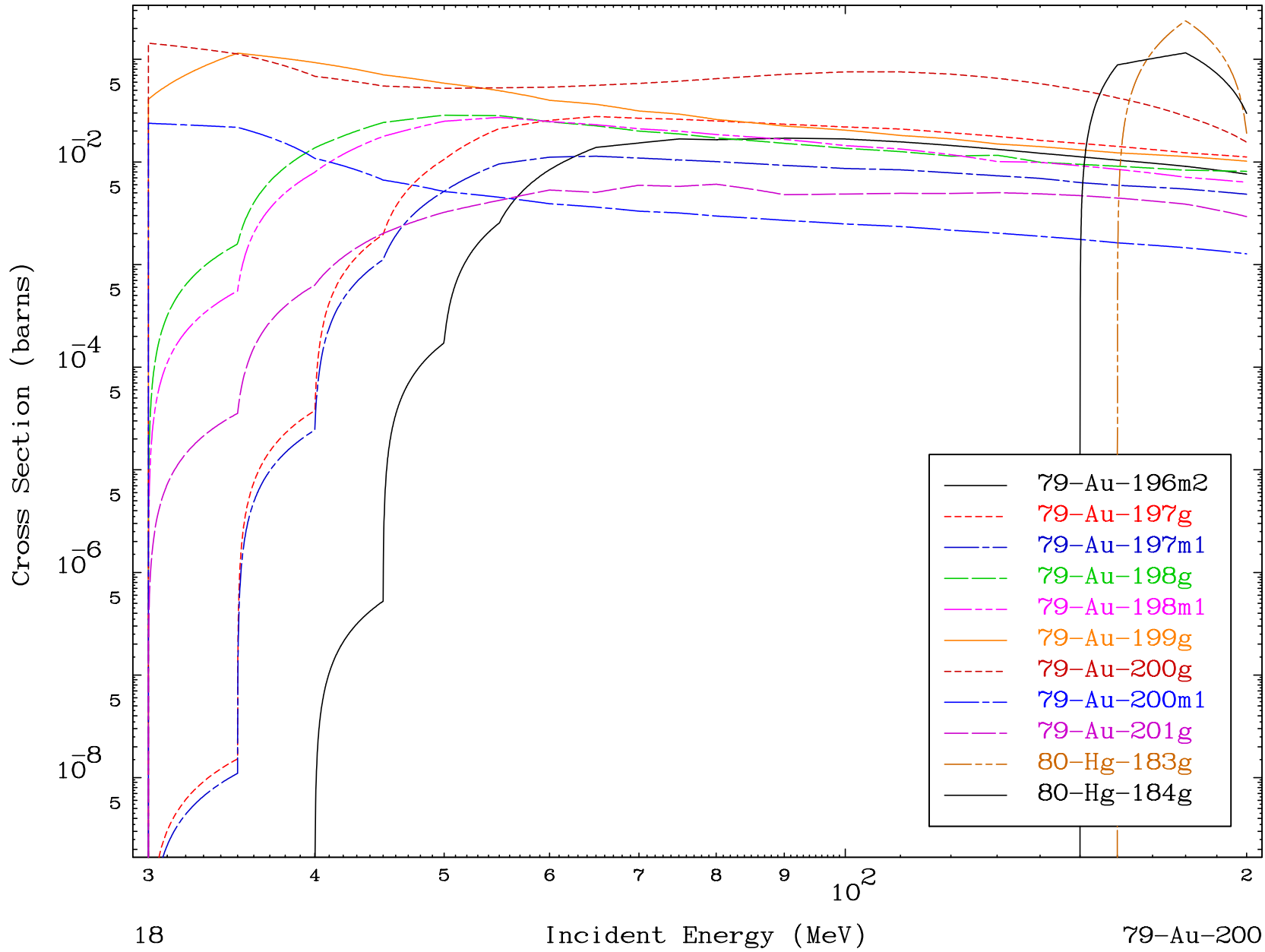


15

79-Au-200





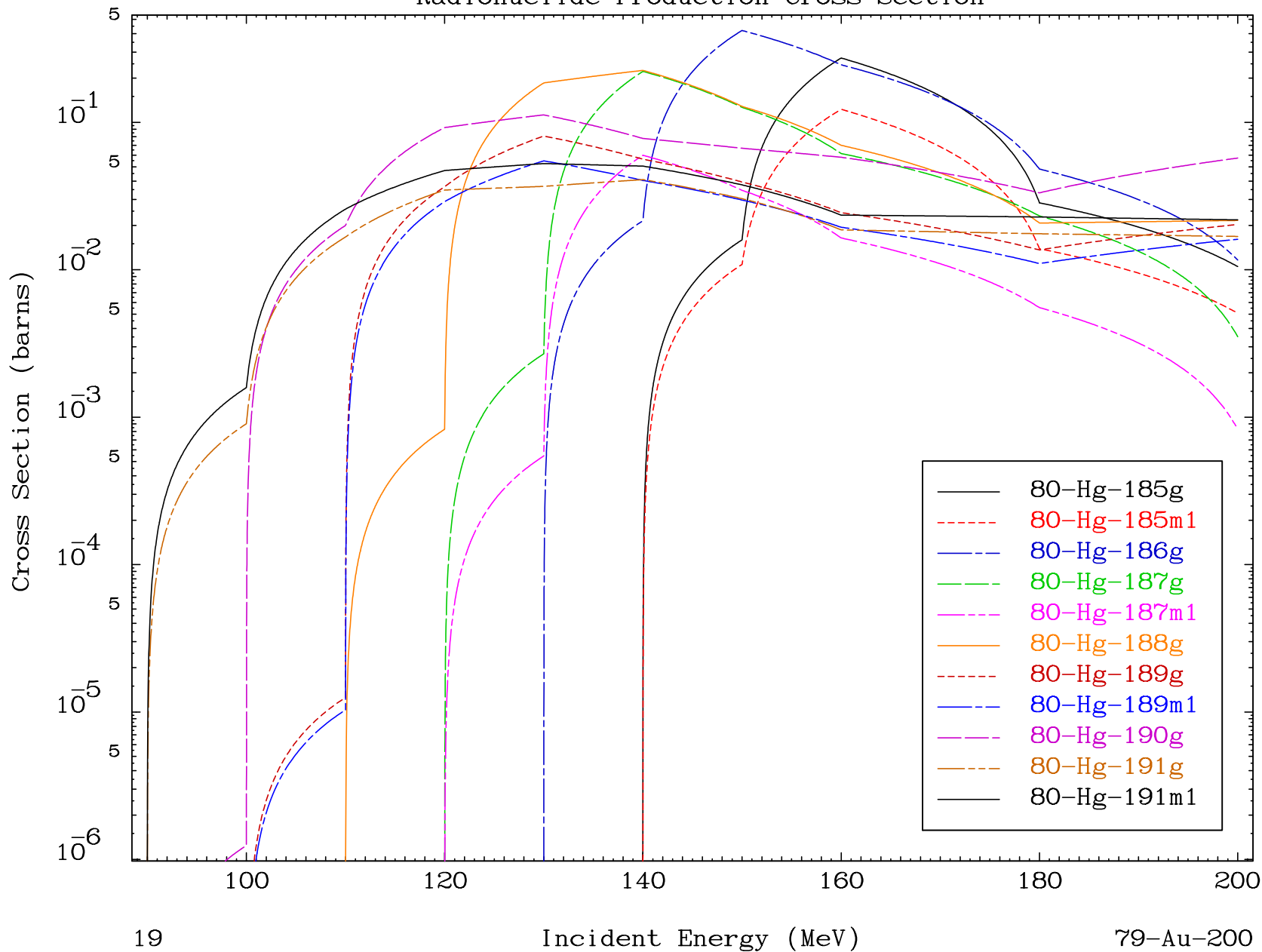


MAT 7934

(α , remainder)

79-Au-200

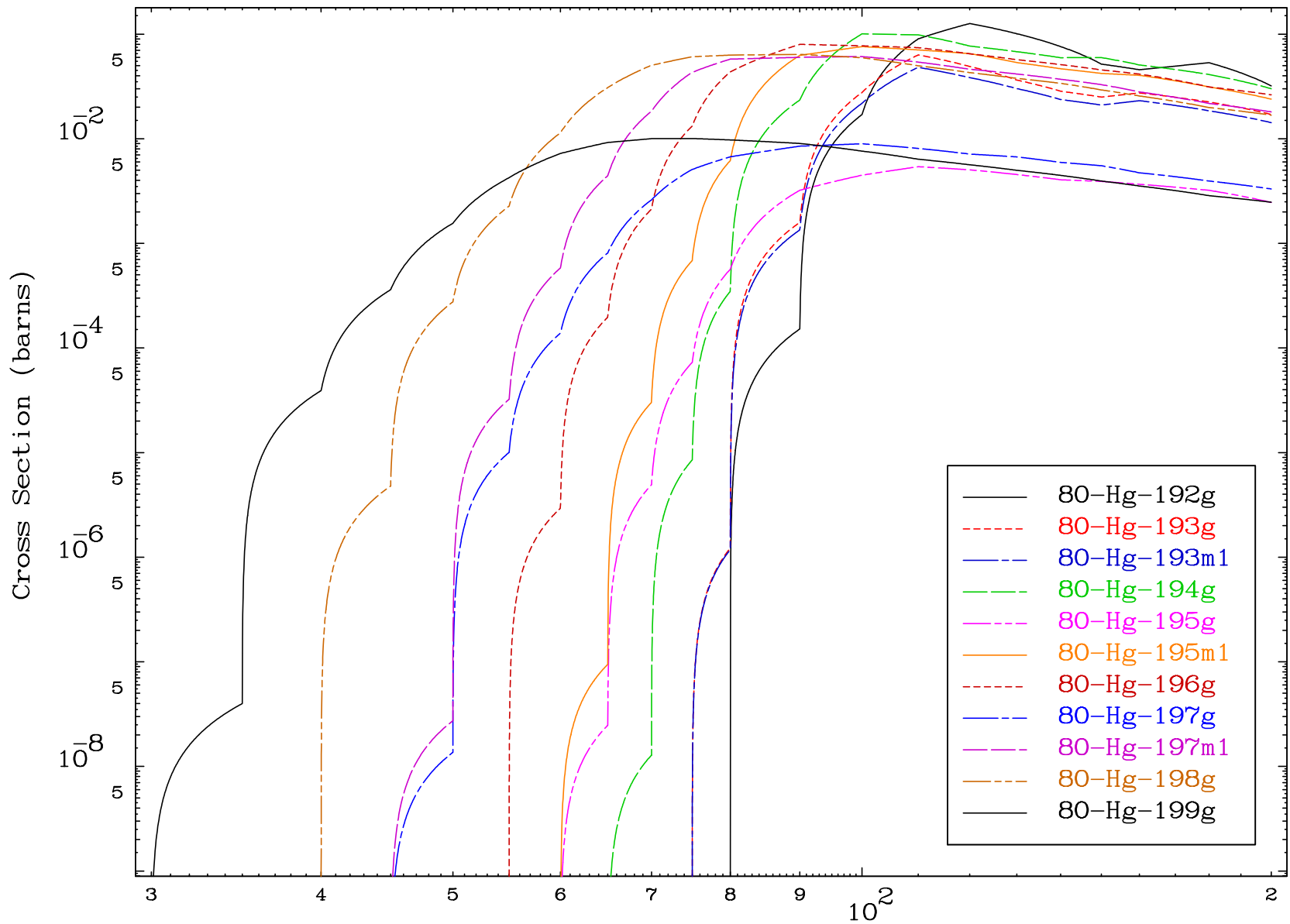
Radionuclide Production Cross Section



MAT 7934

(α , remainder)
Radionuclide Production Cross Section

79-Au-200

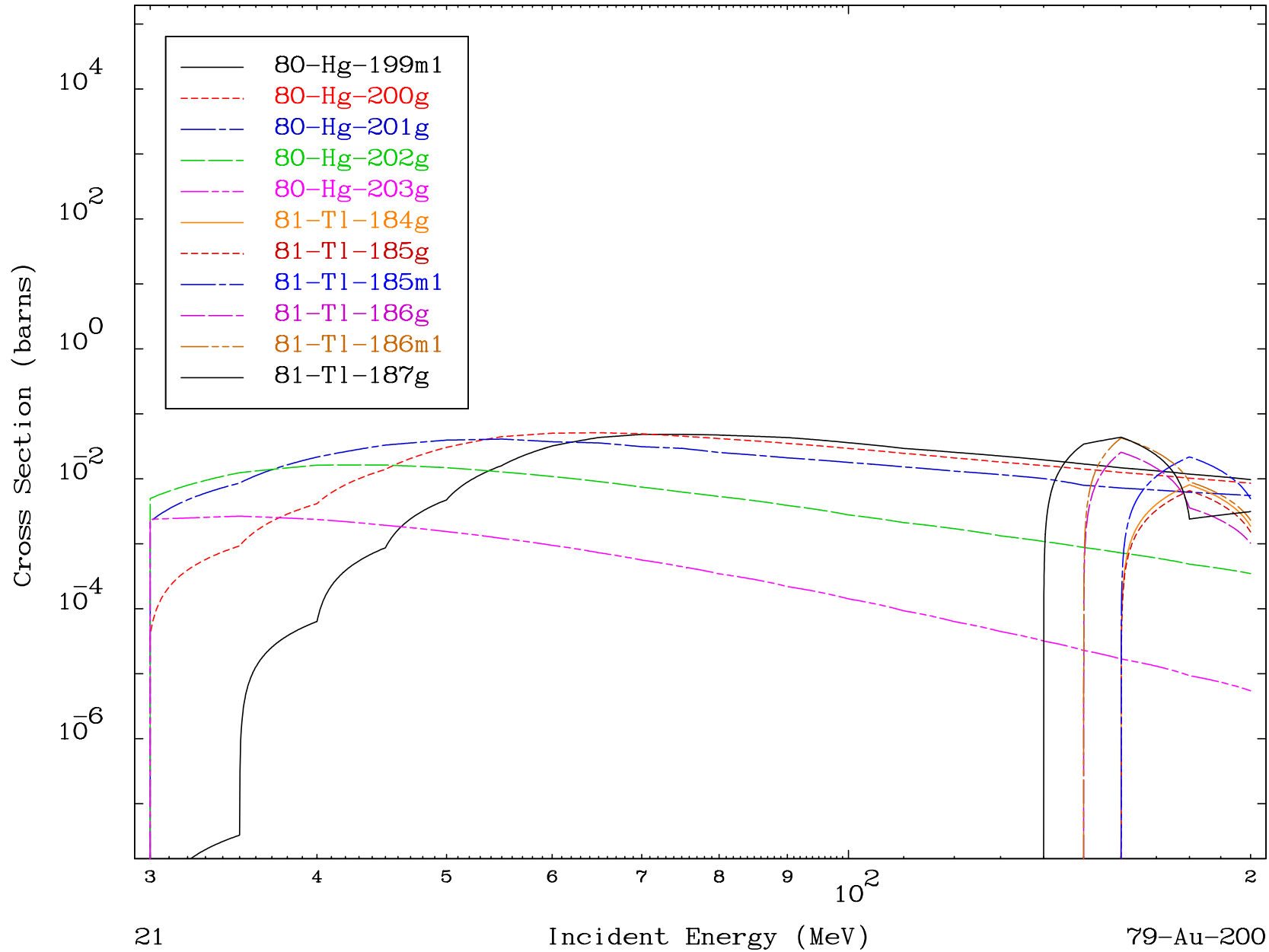


20

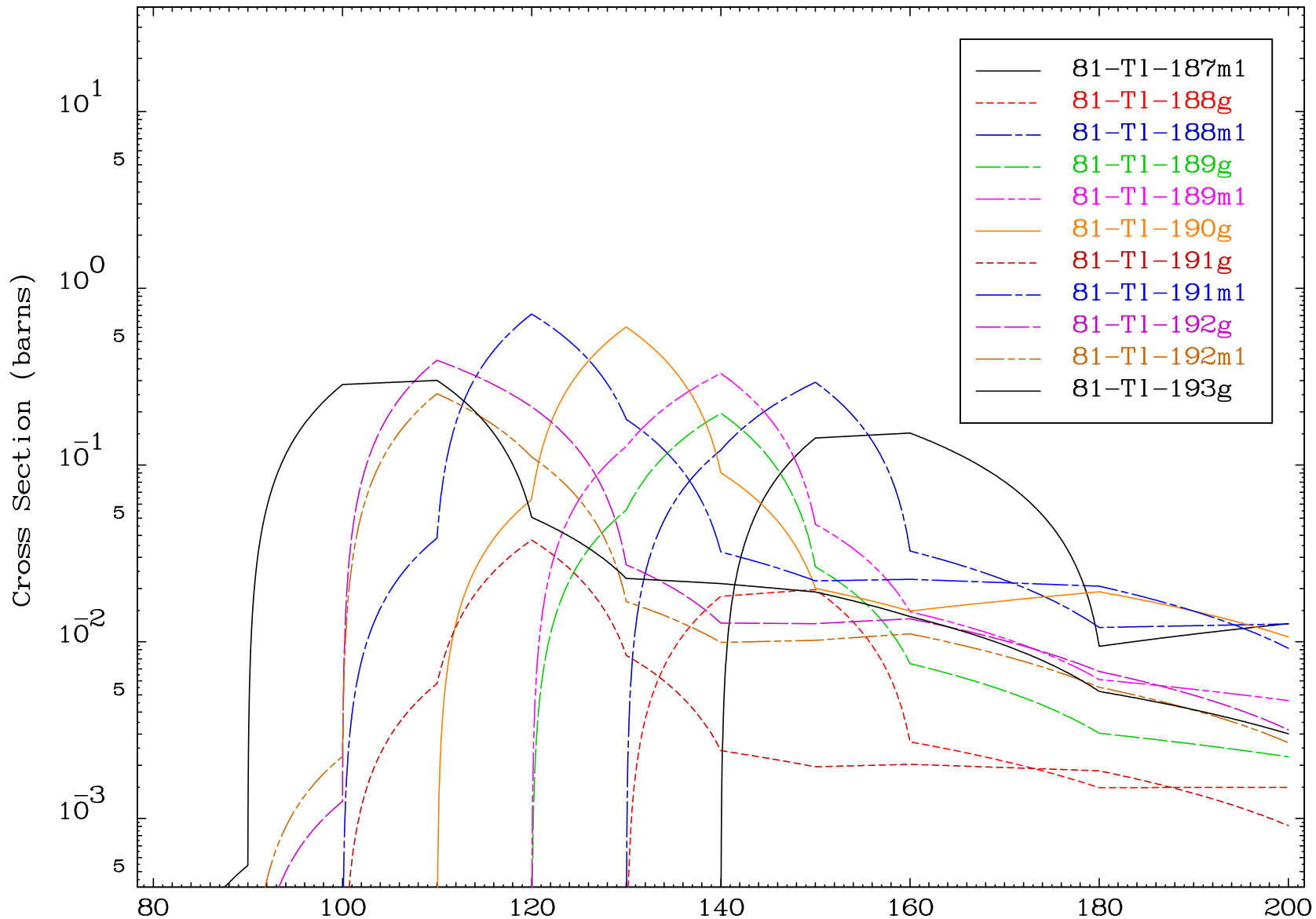
Incident Energy (MeV)

79-Au-200

Radionuclide Production Cross Section



Radionuclide Production Cross Section

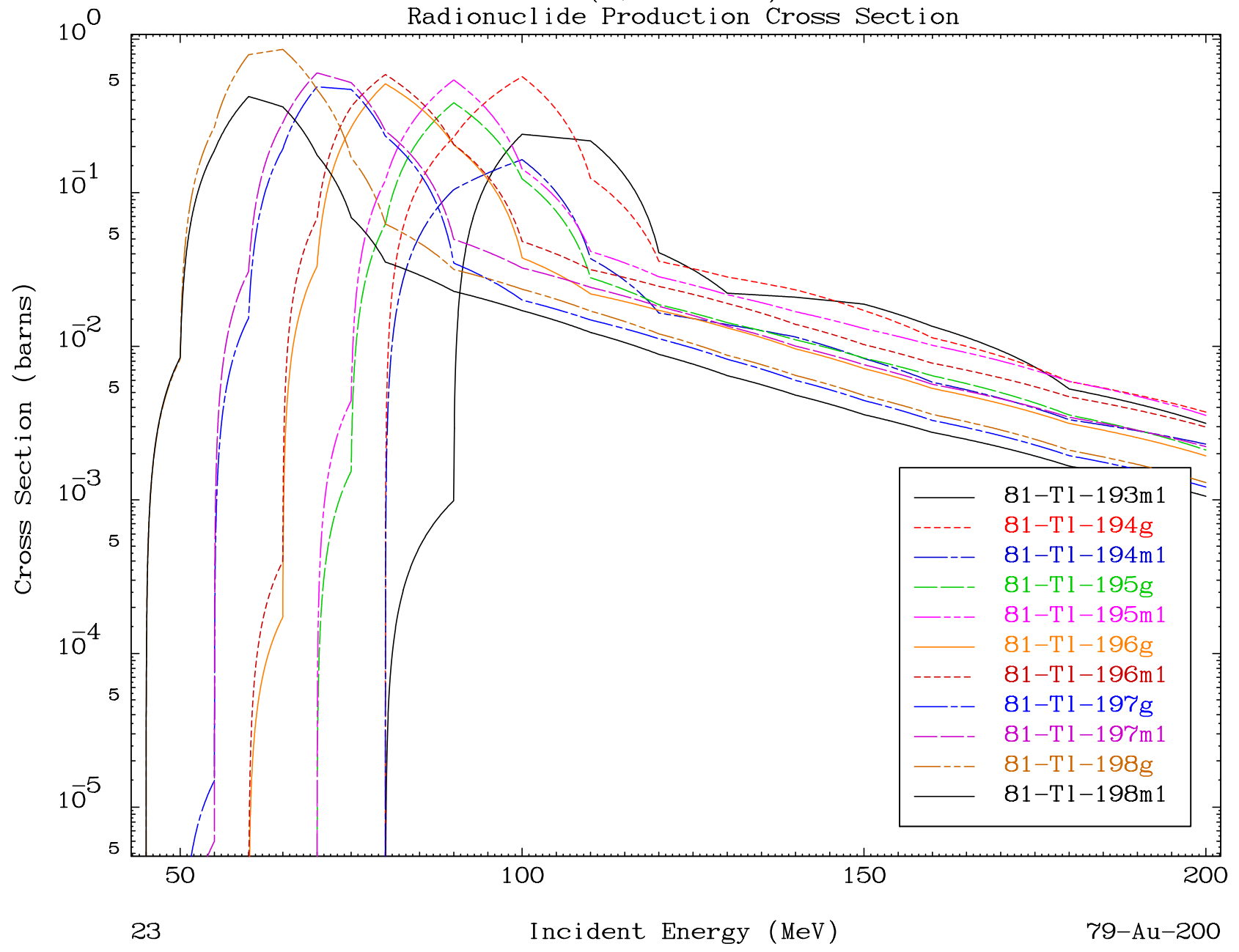


MAT 7934

(α , remainder)

79-Au-200

Radionuclide Production Cross Section

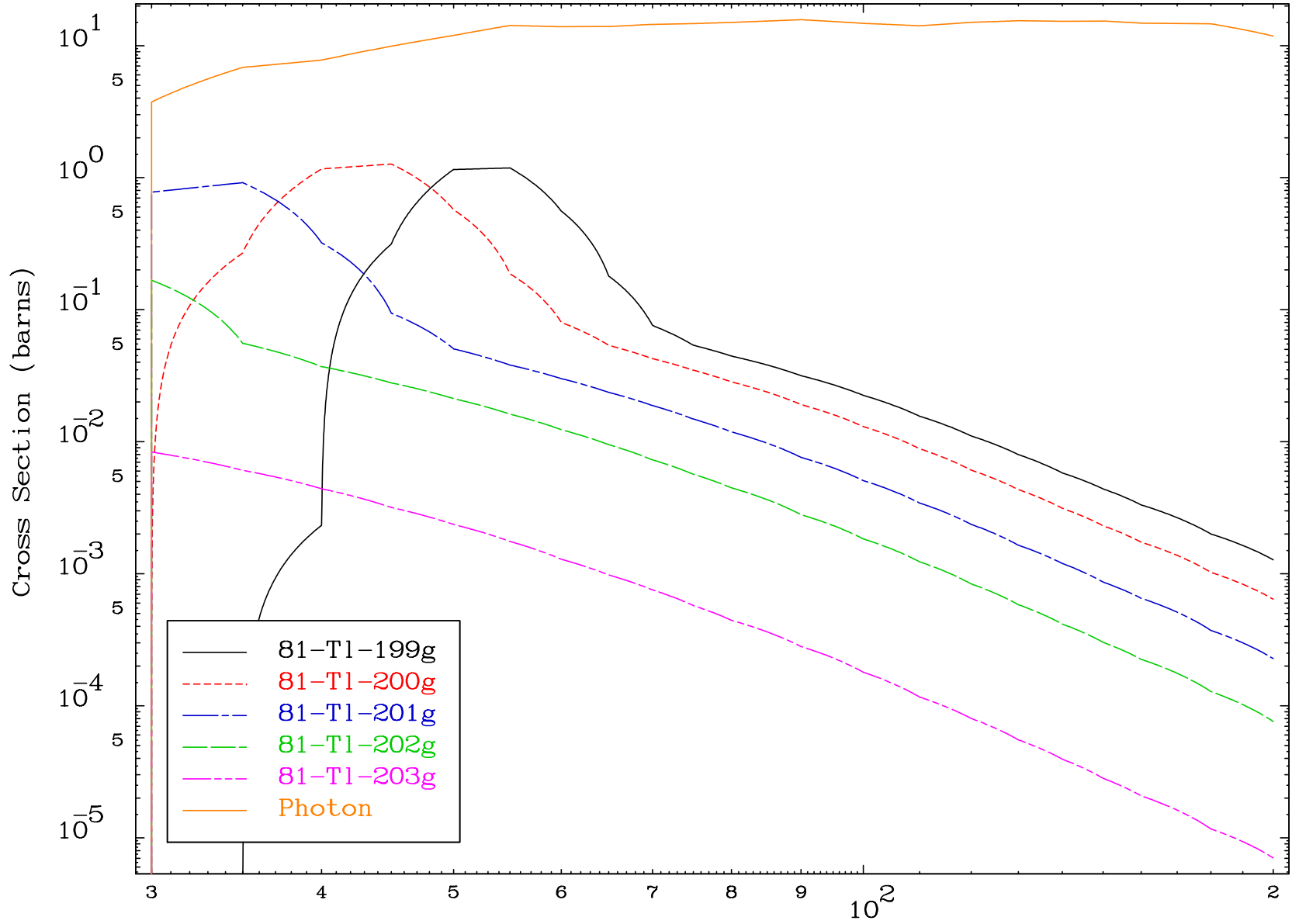


23

Incident Energy (MeV)

79-Au-200

Radionuclide Production Cross Section

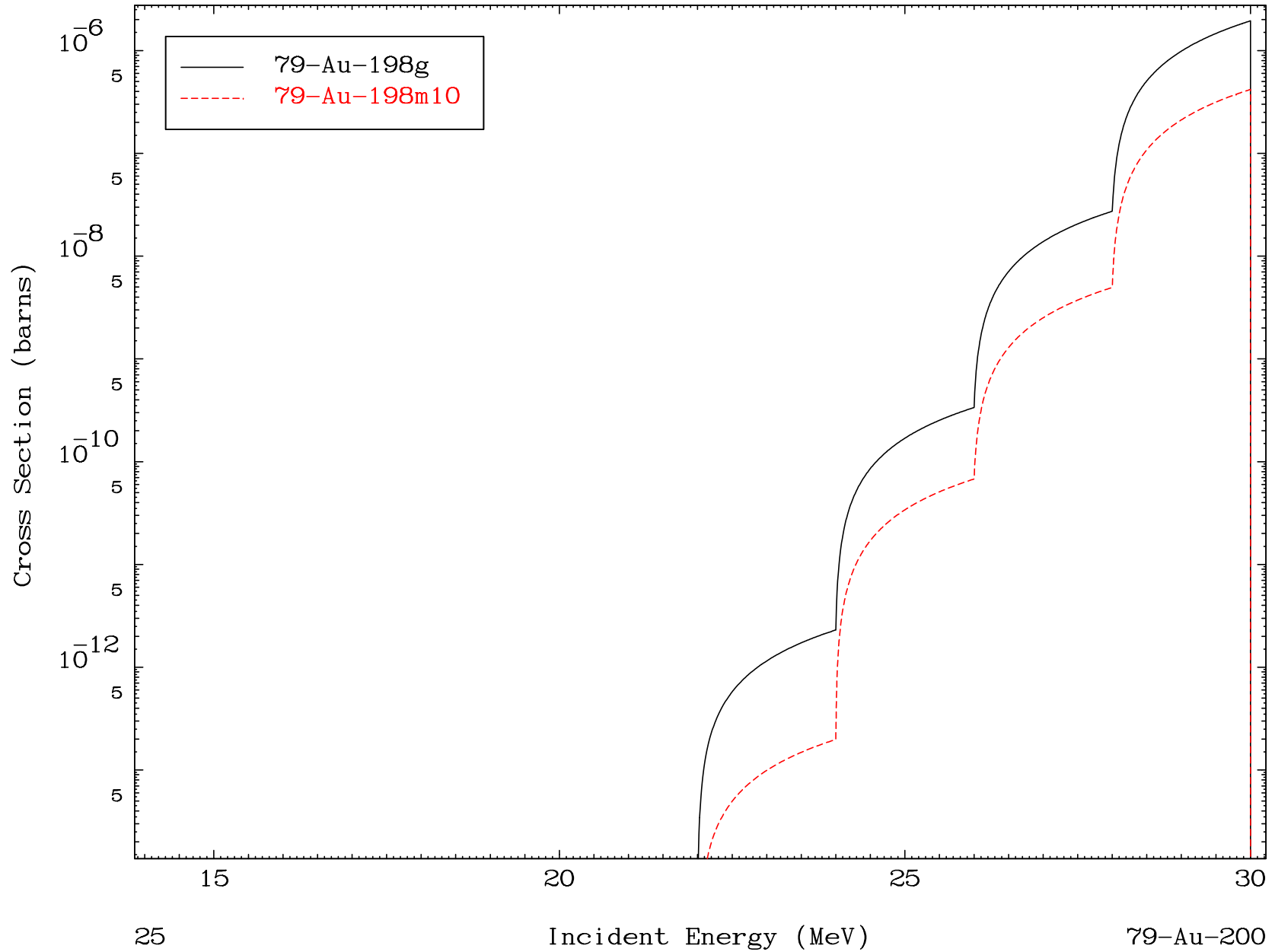


MAT 7934

($\alpha, 2n$) α

79-Au-200

Radionuclide Production Cross Section



MAT 7934

(α, α)

79-Au-200

Radionuclide Production Cross Section

